

## بررسی تئوریکی امکان تونل زنی حفره در یک پلاسمای غیر همگن با استفاده از پالس‌های لیزر فوق شدید

سیده نسرین حسینی مطلق<sup>۱</sup>، پریا هاشمی<sup>۲</sup>

۱. استادیار گروه فیزیک، دانشگاه آزاد اسلامی، واحد شیراز  
۲. کارشناسی ارشد فیزیک اتمی-مولکولی، دانشگاه علوم و تحقیقات

### چکیده

آینده بشر به طرز باورنکردنی، به انرژی هسته‌ای گره خورده است، استفاده عاقلانه از انرژی هسته‌ای، بر اساس درک خطرات و منافع اش برای غلبه بر چالشی که موجودیت ما را تهدید می‌کند ضروری است. با توجه به اهمیت همچوشهای هسته‌ای می‌توان دید که شرط لازم برای انجام واکنش همچوشی، غلبه دو هسته واکنش دهنده بر سد کولنی بین آنهاست که همانطور که بیان شد برای انجام این کار دو راه وجود دارد ۱- کاهش ارتفاع سد پتانسیل کولنی (همچوشی سرد) ۲- دادن انرژی جنبشی به هسته‌ها (همچوشی گرم). و در همچوشی گرم مشخص شد حداقل دمای لازم برای انجام واکنش‌های همچوشی از مرتبه  $10^8 K$  است و سپس همچوشی از طریق محصور سازی اینرسی (ICF) (یکی از انواع روش‌های همچوشی گرم) مورد بحث و بررسی قرار داده شد و از آنجا که در سیستم ICF می‌توان برای ایجاد دماهای بالا از لیزر استفاده کرد مکانیسم لیزر و لیزرهای پر شدت زتاوات و اگزاوات که به تازگی معرفی شده‌اند را توضیح داده و بیان شد که یک لیزر اگزاوات با توان  $10^{25} \frac{W}{cm^2}$  می‌تواند  $10kJ$  انرژی را در مدت  $10fs$  تولید کند. لذا با اختراع این لیزرهای تونل‌زنی لیزر در یک پلاسمای DT چگال پیشنهاد شده است. در این مقاله با معرفی نیروی پاندروماتیو به بررسی و محاسبه این نیرو پرداخته شد. همچنین انرژی یون‌ها، سرعت تونل‌زنی و زمان تونل‌زنی در دو حالت بررسی شد: در حالت اول جرم یونی، جرم کاهش یافته‌ی دوتربیوم و تریتیوم و در حالت دوم جرم یونی، جرم دوتربیوم (با غلظت کم تریتیوم) در نظر گرفته شده است. نتایج بررسی نشان داد که این پارامترها در این دو حالت خیلی بهم نزدیک هستند. بدلیل اینکه تولید تریتیوم گران است حالت دوم از لحاظ اقتصادی خیلی مفروض به صرفه است.

**واژه‌های کلیدی:** تونل‌زنی، حفره، کپسول DT، احتراق سریع، لیزر فوق شدید

**مقدمه**

آینده بشر به طرز باور نکردنی، به انرژی هسته‌ای گره خورده است. همین طور که جمعیت جهان افزایش می‌یابد، تقاضا برای انرژی به منظور تامین یک زندگی قابل قبول نیز افزایش یافته و منابع قابل دسترسی و بخصوص منابع سوختهای فسیلی را به طور جدی کاهش خواهد داد منابع و روش‌های جدید و متفاوت تبدیل انرژی باید کشف شده و به استفاده عملی برسند استفاده عاقلانه از انرژی هسته‌ای، بر اساس درک هر دوی خطرات و منافع اش برای غلبه بر چالشی که موجودیت ما را تهدید می‌کند ضروری است.

از آنجا که انرژی هسته‌ای به دو صورت شکافت هسته‌ای و همجوشی هسته‌ای مورد استفاده قرار می‌گیرد، در دهه‌های اخیر، همجوشی هسته‌ای با توجه به مزیت‌های آن نسبت به شکافت، از اهمیت خاصی برخوردار شده است. در فرایند همجوشی به روش محصورسازی اینرسی (ICF) فرص سوخت را به طور یکنواخت و متقاضن تحت تاثیر باریکه‌های لیزری پر شدت قرار می‌دهند به همین منظور سعی در تولید لیزر های پرتوان (پتاوات، اگزاوات و زتاوات) است.

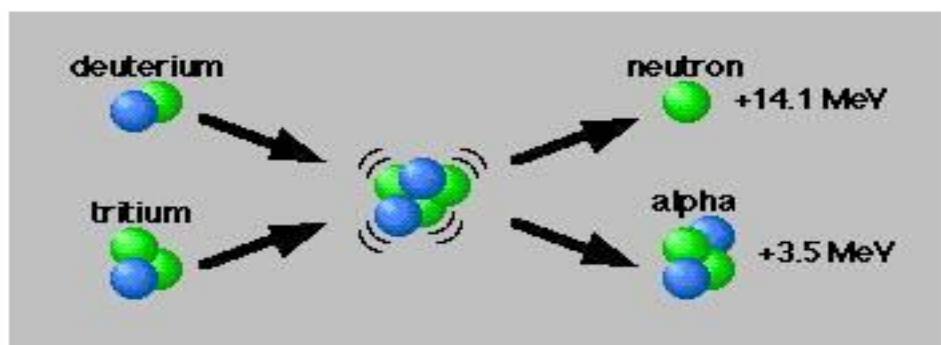
**أنواع واکنش‌های هسته‌ای**

أنواع واکنش‌های هسته‌ای عبارتند از واکنش شکافت و واکنش همجوشی [1,2].

شکافت فرایندی است که در آن هسته یک اتم سنگین نظیر  $^{235}\text{U}$  تبدیل به هسته‌های سبک‌تر می‌شود و البته در این بین مقداری انرژی نیز آزاد می‌شود که برای واکنش زیر در حدود  $200\text{MeV}$  می‌باشد [3].

رهیافت دیگری که برای استفاده از انرژی هسته‌ای ارائه گردیده است و نسبت به روش اول یعنی شکافت قدمت کمتری دارد، همجوشی می‌باشد. در همجوشی هسته‌ای، هسته دو اتم سبک نظیر هیدروژن با یکدیگر ترکیب شده و هسته سنگین تری نظیر هلیوم را می‌سازند. در خلال این فرایند مقداری انرژی آزاد می‌شود.

این واکنش به نام واکنش دوتیریم – تریتیم یا واکنش  $\text{D}-\text{T}$  معروف است. هرگاه انرژی‌های جنبشی ذرات تابشی کم و قابل اغماض باشند، ذرات تولیدی  $^4\text{He}$  و  $n$  با رعایت قانون پایستگی تکانه خطی، مقدار انرژی  $17.6\text{MeV}$  را بین خود تقسیم می‌کنند، و یک نوترون تک انرژی با انرژی  $14.1\text{ MeV}$  پدیدار می‌شود شکل (1-1) این پدیده را بهتر نشان می‌دهد. غالباً از این واکنش به عنوان یک منبع نوترون‌های تند استفاده می‌شود. به خاطر آزادسازی انرژی زیاد، واکنش  $\text{D}-\text{T}$  برای استفاده در راکتورهای همجوشی کنترل شده انتخاب شده است.



شکل (1-۱) همجوشی D-T

در همجوشی هسته ای، برخلاف شکافت هسته ای که از هسته های خیلی سنگین شروع می کند، می توان با شروع از هسته های خیلی سبک از منحنی انرژی بستگی بالا رفت و به طرف هسته های پایدار نزدیک شد. در این فرایند دو هسته ای سبک با هم ترکیب شده و هسته ای با جرم کمتر از  $A = 56$  ایجاد می شود و مقداری انرژی نیز آزاد می شود [۴].

### شرایط واکنشهای همجوشی

به طور کلی امکان انجام واکنشهای همجوشی به سادگی امکان پذیر نیست. زیرا انجام واکنش همجوشی مستلزم غلبه دو هسته واکنش دهنده بر سد کولنی بین آنها می باشد. لذا چنانچه بخواهیم تا واکنش همجوشی قابل انجام باشد، بایستی به نحوی بر این سد کولنی غلبه کنیم. برای نیل به این منظور دو گزینه پیش روی داریم:

الف ) به هسته ها انرژی جنبشی زیادی بدهیم به طوریکه امکان عبور از سد پتانسیل کولنی را داشته باشند.

ب ) ارتفاع سد پتانسیل کولنی را کاهش دهیم.

اگر گزینه اول را انتخاب کنیم، از همجوشی گرم سخن به میان آورده ایم و چنانچه راه دوم را بر گزیننیم، همجوشی سرد را در نظر گرفته ایم [۶, ۷].

با توجه به اهمیت همجوشی های گرم و انواع مختلف آنها، یک نوع از این همجوشی ها با جزئیات بیشتری مورد بررسی قرار می گیرد:

### همجوشی به روش محصور سازی لختی<sup>۱</sup> (اینرسی)

در این همجوشی قرص کوچک کروی شکلی از سوتی منجمد همچون دوتریم-تریتیم که دارای شعاعی به اندازه  $R$  می‌باشد، تحت تاثیر باریکه‌های لیزری با قدرت بالا به طور یکنواخت و متقاضی مورد تابش قرار می‌گیرد. هدف این تکنیک، رسیدن به چگالی‌ها و دماهای به قدر کافی بالاست به طوری که قبل از انبساط و انفجار قرص، فرایند همجوشی قابل تحقق باشد. البته استفاده از باریکه‌های سریع و پر انرژی ذرات باردار نظریه الکترون و یا پرتوهای سبک یونی نیز ممکن است. جذب انرژی تابش لیزری در نزدیک سطح قرص باعث ایجاد یک پلاسما شده که در نتیجه جدا شدن آن از سطح قرص یک موج فشاری به طرف داخل شروع به حرکت می‌کند (بر اساس قانون سوم نیوتن) و باعث گرم شدن قرص سوت می‌گردد. البته اساس همجوشی لیزری انفجاری است که به کمک آن دانسیته سوت بالا رفته و در نتیجه واکنش همجوشی به قدری سریع انجام می‌گیرد که سوت ناشی از همجوشی سریعتر از انبساط سوت متراکم شده انجام می‌پذیرد و به همین دلیل است که این فرایند "محصور سازی اینرسی" نامیده می‌شود [22, 23].

### سیستم لیزری زتاوات

اگرچه سیستم زتاوات می‌تواند با استفاده از  $b\lambda$ : شیشه‌ای ساخته شود، ولی بدليل مزایای نسبتاً مختصر ناشی از  $F_{sat}$  زیاد این ماده و وجود دیود قابل پمپ، برای رسیدن به این تراز شدت با این مواد لازم است که کار پیشرفتی تری انجام شود، در فرانسه و در ایالات متحده از لیزرهایی که چندین مگاژول انرژی آزاد می‌کنند و همچنین از فناوری تلسکوپ بزرگ موجود ( قطر  $10\text{ m}$ ) و آینه‌های تغییر شکل پذیر استفاده می‌کنند.

### سیستم لیزری اگزاوات

چنانچه یک لیزر زتاوات، هرچند در عمل شدنی است، در این زمان توانسته خیلی عالی به نظر برسد، از طرف دیگر، یک سیستم اگزاوات، که  $10\text{ kJ}$  را در  $10\text{ fs}$  تولید خواهد کرد، یعنی  $10\frac{\text{W}}{\text{cm}^2}$  می‌تواند به سادگی ساخته شود. تنها  $1\%$  یا  $3\text{ kJ}$  از انرژی  $\text{NIF/LMJ}$  مورد نیاز خواهد بود. اندازه ای قطر باریکه حدود  $m1$  خواهد بود. روش تقویت شامل یک شبکه کریستالی  $25\text{ تایی}$  از جنس  $Ti$ : یا قوت کبود  $20\times20\text{ cm}^2$  و  $2$  توری در اندازه ای متر خواهد بود. تلسکوپ‌ها روزنه‌ی یک متری خواهند داشت. جبهه‌ی موج توسط یک آینه‌ی بزرگ تغییر شکل پذیر تصحیح خواهد شد. در ادامه چند نمونه‌های کاربردهای چنین لیزرهای پرشدت که ممکن است شیوه‌های نوینی برای تحقیق بروی فیزیک بنیادی ارائه دهنده بررسی می‌شود.

### کاربردهای لیزر های پرشدت (زتاوات و اگزاوات)

از چنین لیزرهای پرشدتی در موارد متعددی استفاده می‌شود که شیوه‌های نوینی برای تحقیق بروی فیزیک بنیادی ارائه می‌دهند از جمله: همجوشی احتراق سریع، شتاب باریون، گسیل اشعه ای گاما، شتاب ذره، ماده ای ابر داغ و ...

## طرح تونل زنی یا طرح خود-مت مرکز

این طرحی است که اساساً "توسط Tabak و همکارانش پیشنهاد شده و بر پایه‌ی سوراخ کردن یک حفره در میان پلاسمای با چگالی کمتر که قلب سوخت چگال را به وسیله‌ی استفاده از فشار کم یک پالس لیزر شدید احاطه کرده است، قرار دارد. این طرح در صورتیکه به ۳ فاز تقسیم شود می‌تواند به آسان ترین نحو توضیح داده شود [53، [54، [55].

### ۱. متراکم سازی

### ۲. تونل زنی

### ۳. احتراق

فاز اول مانند همان فاز متراکم سازی است که در ICF لکه‌ی داغ مرکزی مرسوم اتفاق می‌افتد اما شدت شوک‌ها و سرعت‌های انفجار از داخل بگونه‌ای محدود می‌شوند که لکه‌ی داغ مرکزی در مقایسه سردر است و چگالی‌های از داخل منفجر شده نیز محدود هستند. در دومین فاز از طرح تونل زنی، یک پرتوی لیزر پالس کوتاه ("معمولًا ۱۰۰ ps ~ در یک دوره) یک تونل را در میان پلاسمایی با چگالی کمتر که قلب سوخت چگال آن را احاطه کرده است، قرار می‌دهد. این حفره به عنوان یک کانال باز عمل می‌کند که تقریباً "حالی از پلاسما برای پالس احتراق به منظور رسیدن به سوخت از قبل متراکم شده با حداقل اتلاف انرژی است. در فاز سوم یک پالس فوق کوتاه با توانی بیش از پتاوات برای محترق کردن سوخت استفاده می‌شود [53]. فاز اول مانند همان فاز متراکم سازی با چگالی کمتر نزدیک به ناحیه‌ی چگال در انتهای دور کانالی که توسط پالس تونل زنی که قبل از این فاز ایجاد می‌شود (برهم کنش می‌کند). الکترون‌های نسبیتی در طول این برهم کنش تولید می‌شوند و در ناحیه‌ای در انتهای کانال یافت می‌شوند. کسر قابل توجهی از این الکترون‌ها سپس انرژیشان را درون سوخت چگال به جای می‌گذارند، یک لکه‌ی داغ ایجاد می‌کنند و احتراق جرم سوخت منفجر شده را راه اندازی می‌کنند. پالس محترق کننده برای همزمان شدن با رسیدن به ماکریزم  $\rho r$  سوخت با دقت چند  $10\text{ ps}$  زمان بندی شده است. تخمین زده شده است که احتراق سوخت در صورتیکه تقریباً  $10\text{ kJ}$  از انرژی لکه‌ی داغ فشرده در لبه‌ی جرم سوخت چگال در  $10\text{ ps}$  آزاد شده باشد، امکان پذیر است [57]. این دوره زمانی به وسیله‌ی زمان فروپاشی لکه‌ی داغ تنظیم می‌شود [57]. تعدادی از موضوعات مربوط به طرح تونل زنی باقی می‌ماند که باید حل شوند. کنترل کردن پالس لیزر تونل زنی در مدتی که از میان پلاسمای هاله‌ای عبور می‌کند مشکل است [58]. ملاحظه شده است که در بسیاری از حالت‌ها نور لیزر تمایل دارد که به تعدادی از رشته‌ها شکسته شود و از سوخت چگال پراکنده شود [49] و [57]. برحسب این طرح به طور کلی، نیاز است که هنوز کار قابل توجهی برای درک چگونگی تولید مسیر درون هاله‌ای که بدون پلاسما باقی می‌ماند صورت گیرد زیرا که زمان کافی است برای این که انرژی محترق کننده بتواند بدون اتلاف انرژی بیش از حد به هاله برسد [59].

## نیروی پاندروماتیو و تونل زنی حفره

نیروی پاندروماتیو بوسیله‌ی پالس‌های نوری با شدت بالای  $\frac{W}{cm^2} = 10^{21}$ ، باریکه‌های الکترون و پروتون را با انرژی میلیون الکترون ولت در فاصله چند میکرونی شتاب می‌دهد. تغییرات این شتاب هزار برابر بزرگتر از فرکانس تابشی حاصل شده از شتاب دهنده‌ها می‌باشد.

الکترون‌های پلاسمای بوسیله‌ی این نیرو به طور پیوسته هل داده می‌شوند و یون‌ها در میدان الکتروستاتیکی قوی با شکل‌گیری ساختار ضربه مانند شتاب داده می‌شوند. استفاده از نور لیزر قطبیده‌ی دایره‌ای ممکن است بازدهی شتاب پاندروماتیو یونی را بهبود بخشد و از گرم شدن زیاد الکترون‌های قوی جلوگیری کند.

در اینصورت امکان دست‌یابی به یک گروه یونی شبه تک انرژی در محیط همگن بوسیله‌ی تنظیم پالس لیزر و پارامترهای پلاسمای وجود دارد [72 و 73].

## بررسی مدل تحلیلی و تأیید تئوریکی

برای بررسی مدل تحلیلی و تأیید تئوریکی امکان تونل زنی حفره در یک پلاسمای غیر همگن با استفاده از پالس‌های لیزر فوق شدید، شبیه‌سازی‌های یک بعدی و دو بعدی با یک کد الکترومغناطیسی نسبیتی ذره - در - سلول PIC انجام شده است. این کار شامل برخوردهای دوتایی بین ذرات نمی‌باشد اما اتفاقات تابش الکترون در آن محاسبه شده است که در شدت‌های بالا از اهمیت فراوانی برخوردار است [63].

بر هم کنش پالس لیزر قطبیده‌ی دایره‌ای با شدت  $I = 4 \times 10^{22} \frac{W}{cm^2}$  و طول موج  $\lambda = 0.8 \mu m$  (a=100) با لایه‌ای پلاسمای دوتایی (تولید تریتیوم از لحاظ اقتصادی مقرن به صرفه نیست به خاطر همین مسئله غلط آن کم در نظر گرفته شده است و از جرم آن صرفنظر می‌شود) بررسی می‌شود.

پالس لیزر یک محفظه مانندی با لبه‌ی بالای  $2\lambda$  دارد در لحظه‌ی  $t=0$  پالس لیزر از مرز پلاسمای  $x=0$  عبور می‌کند و لایه‌ی پلاسما به شکل نمایی از  $5$  تا بالای  $100n_c$  در فاصله‌ی  $L_p = 60\lambda$  با اندازه‌ی طول چگالی  $L = 20\lambda$  افزایش می‌یابد. این لایه‌ی نمایی بوسیله‌ی لایه پلاسمای یکنواخت با چگالی  $100n_c$  انبساط پیدا کرده است تا از بازتاب ذرات شتاب داده شده اجتناب ورزد.

بیشتر الکترون‌ها بوسیله‌ی نیروی پاندروماتیو میدان لیزر، به سمت جلو رانده می‌شوند. اگرچه به علت تولید میدان جدا شده بار قوی قسمتی از الکترون‌های سرد به سمت عقب شتاب داده شده‌اند حضور الکترون‌ها با تکانه‌ی مثبت و منفی در ناحیه‌ی پیستون این حقیقت را نشان می‌دهد.

الکترون‌ها به سمت عقب شتاب گرفته با پالس لیزر اصلی برهم کنش می‌کنند و انرژیشان را از طریق تابش از دست می‌دهند و در نهایت در جهت مخالف حرکت می‌کنند [۷۴].

**جدول(۱-۴): انرژی پاندروماتیو بر حسب اندازه‌های مختلف طول موج و شدت تابش.**

| $E_p(Mev)$ | $\lambda(\mu m)$ | $I(W/cm^2)$ |
|------------|------------------|-------------|
| 0/000111   | 0/25             | $10^{16}$   |
| 0/011      | 0/25             | $10^{18}$   |
| 0/63       | 0/25             | $10^{20}$   |
| 2/94       | 0/25             | $10^{21}$   |
| 17/29      | 0/25             | $10^{22}$   |
| 0/00019    | 0/33             | $10^{16}$   |
| 0/019      | 0/33             | $10^{18}$   |
| 1/00       | 0/33             | $10^{20}$   |
| 4/02       | 0/33             | $10^{21}$   |
| 13/74      | 0/33             | $10^{22}$   |
| 0/0004     | 0/5              | $10^{16}$   |
| 0/043      | 0/5              | $10^{18}$   |
| 1/78       | 0/5              | $10^{20}$   |
| 6/63       | 0/5              | $10^{21}$   |
| 21/08      | 0/5              | $10^{22}$   |
| 0/0011     | 0/8              | $10^{16}$   |
| 0/105      | 0/8              | $10^{18}$   |

|       |     |           |
|-------|-----|-----------|
| 2/98  | 0/8 | $10^{20}$ |
| 10/42 | 0/8 | $10^{21}$ |
| 34/04 | 0/8 | $10^{22}$ |

از جدول (۱-۴) دیده می‌شود که با افزایش شدت تابش و طول موج لیزر انرژی پاندروماتیو افزایش می‌یابد. توجه شود که تاثیر شدت تابش لیزر خیلی بیشتر از تاثیر طول موج بر انرژی پاندروماتیو می‌باشد.

حال در حالت ناهمگن اثر شتاب تابشی یون روی پلاسمای بحرانی تا چگالی  $n_c = 100$  و بالاتر بررسی می‌شود.

چگالی بحرانی الکترون  $n_c$  برای لیزر با طول موج  $\lambda = 0.8 \mu m$  برابر با  $1.72 \times 10^{21} cm^{-3}$  می‌باشد. امکان تونل زنی حفره

در چنین پلاسمایی بوسیله‌ی پالس‌های لیزر محرک با چگالی شدت فراتر از  $10^{22} \frac{W}{cm^2}$  وجود دارد.

جدول (۲-۴): سرعت پیستون، انرژی یون‌ها، زمان تونل زنی و دامنه‌ی توقف یون‌ها بر حسب چگالی یونی.

| $(n_i/n_c)$ | $a$ | $\beta_f$ | $\varepsilon_i(Mev)$ | $T_p(c/\lambda)$ | $\rho l_i$ |
|-------------|-----|-----------|----------------------|------------------|------------|
| 1           | 50  | 0/345     | 1261/44              | 0                | 357/4      |
| 20          | 50  | 0/105     | 101/13               | 329/06           | 4/062      |
| 100         | 50  | 0/050     | 22/61                | 852/94           | 0/274      |
| 150         | 50  | 0/0412    | 15/34                | 1065/94          | 0/1363     |
| 200         | 50  | 0/0359    | 11/63                | 1245/50          | 0/0828     |
| 1           | 70  | 0/424     | 1978/01              | 0                | 857/46     |
| 20          | 70  | 0/141     | 184/16               | 235/04           | 11/95      |
| 100         | 70  | 0/0687    | 42/69                | 609/24           | 0/860      |
| 150         | 70  | 0/0568    | 29/15                | 761/38           | 0/432      |
| 200         | 70  | 0/0496    | 22/18                | 889/64           | 0/264      |
| 1           | 100 | 0/513     | 3215/09              | 0                | 2055/65    |

|     |     |        |         |         |         |
|-----|-----|--------|---------|---------|---------|
| 20  | 100 | 0/190  | 339/70  | 164/53  | 35/972  |
| 100 | 100 | 0/0954 | 82/574  | 426/47  | 2/820   |
| 150 | 100 | 0/0793 | 56/86   | 532/97  | 1/441   |
| 200 | 100 | 0/0694 | 43/507  | 622/75  | 0/890   |
| 1   | 150 | 0/612  | 5401/52 | 0       | 5230/34 |
| 20  | 150 | 0/261  | 658/73  | 109/68  | 118/488 |
| 100 | 150 | 0/136  | 175/90  | 284/31  | 10/44   |
| 150 | 150 | 0/114  | 119/19  | 335/31  | 5/460   |
| 200 | 150 | 0/1006 | 91/924  | 415/169 | 3/42    |

در جدول (4-2) جرم یون، جرم کاهش یافته‌ی دوتربیوم و تریتیوم در نظر گرفته شده است.

جدول (4-3): سرعت پیستون، انرژی یون‌ها، زمان تونل‌زنی و دامنه‌ی توقف یون‌ها بر حسب چگالی یونی.

| $(n_i/n_c)$ | $a$ | $\beta_f$ | $\varepsilon_i(Mev)$ | $T_p(c/\lambda)$ | $\rho l_i$ |
|-------------|-----|-----------|----------------------|------------------|------------|
| 1           | 50  | 0/454     | 937/41               | 0                | 223/60     |
| 20          | 50  | 0/157     | 91/059               | 208/29           | 3/36       |
| 100         | 50  | 0/0769    | 21/428               | 539/92           | 0/248      |
| 150         | 50  | 0/0637    | 14/67                | 674/75           | 0/1257     |
| 200         | 50  | 0/0556    | 11/18                | 788/41           | 0/0771     |
| 1           | 70  | 0/538     | 1469/85              | 0                | 502/45     |
| 20          | 70  | 0/2060    | 160/99               | 148/78           | 9/380      |
| 100         | 70  | 0/104     | 39/72                | 385/66           | 0/755      |

|     |     |        |         |        |         |
|-----|-----|--------|---------|--------|---------|
| 150 | 70  | 0/0869 | 27/43   | 481/96 | 0/388   |
| 200 | 70  | 0/0762 | 21/02   | 563/15 | 0/240   |
| 1   | 100 | 0/625  | 2307/4  | 0      | 1131/45 |
| 20  | 100 | 0/271  | 286/45  | 104/14 | 26/46   |
| 100 | 100 | 0/143  | 74/99   | 269/96 | 2/371   |
| 150 | 100 | 0/119  | 52/40   | 337/37 | 1/244   |
| 200 | 100 | 0/105  | 40/46   | 394/20 | 0/7810  |
| 1   | 150 | 0/714  | 3749/56 | 0      | 2711/22 |
| 20  | 150 | 0/358  | 531/11  | 69/43  | 80/415  |
| 100 | 150 | 0/2000 | 149/99  | 179/97 | 8/25    |
| 150 | 150 | 0/169  | 106/51  | 224/91 | 4/459   |
| 200 | 150 | 0/150  | 83/11   | 262/80 | 2/853   |

در جدول (4-3) جرم یون، جرم دوتربیوم در نظر گرفته شده است.

در هر دو جدول (4-2) و (4-3) دیده می‌شود که با افزایش چگالی سرعت پیستون  $\beta_f$ ، انرژی یون‌ها  $E$ ، و دامنه‌ی توقف یون‌ها کاهش می‌یابد ولی زمان تونل‌زنی افزایش می‌یابد همانطور دیده می‌شود که با افزایش بردار پتانسیل  $a$  سرعت پیستون  $\beta_f$ ، انرژی یون‌ها  $E$  و دامنه‌ی توقف افزایش می‌یابد و زمان تونل‌زنی کاهش می‌یابد. از مقایسه‌ی این دو جدول در شرایط یکسان چگالی یون  $(n_i/n_c)$  و بردار پتانسیل  $a$  مشاهده می‌شود که در حالت اول که جرم یون، جرم کاهش یافته‌ی دوتربیوم و تریتیوم در نظر گرفته شده نسبت به حالت دوم که در آن جرم یون، جرم دوتربیوم (جرم تریتیوم خیلی کم در نظر گرفته شده است) در نظر گرفته شده، سرعت پیستون  $\beta_f$  کمتر می‌باشد و انرژی یون‌ها  $E$ ، دامنه‌ی توقف و زمان تونل‌زنی بیشتر می‌باشد. اگر چه حالت اول دارای انرژی یونی  $E$  و دامنه‌ی توقف بالاتری می‌باشد و در کل شرایط بهتری را برای تونل زنی نسبت به حالت دوم دارد اما این نکته نیز دیده می‌شود که اختلاف انرژی یونی و دامنه‌ی توقف بین این دو حالت با افزایش چگالی خیلی کم می‌شود پس یک نتیجه‌ی مهم گرفته می‌شود که در چگالی خیلی بالا می‌توان از کپسول دوتربیوم (با غلظت کم تریتیوم) به جای کپسول حاوی مقدار مساوی دوتربیوم و تریتیوم استفاده کرد که این از لحاظ اقتصادی خیلی مقرر به صرفه است.

جدول (۴-۴): سرعت پیستون، انرژی یون‌ها، زمان تونل‌زنی و دامنه‌ی توقف یون‌ها بر حسب شدت تابش لیزر.

| $I(W/cm^2)$ | $\beta_f$ | $\varepsilon_i(Mev)$ | $T_p(c/\lambda)$    | $\rho l_i(g/cm^2)$      |
|-------------|-----------|----------------------|---------------------|-------------------------|
| $10^{16}$   | 0/0000516 | 0/0000239            | $8.718 \times 10^5$ | $4.807 \times 10^{-12}$ |
| $10^{18}$   | 0/000515  | 0/00239              | $8.718 \times 10^4$ | $1.910 \times 10^{-8}$  |
| $10^{20}$   | 0/00513   | 0/239                | $8.718 \times 10^3$ | $7.480 \times 10^{-5}$  |
| $10^{21}$   | 0/0160    | 2/39                 | $2.757 \times 10^3$ | $4.53 \times 10^{-3}$   |
| $10^{22}$   | 0/0490    | 21/68                | $8.718 \times 10^2$ | 0.254                   |
| $10^{23}$   | 0/140     | 180/37               | $2.757 \times 10^2$ | 11.511                  |
| $10^{24}$   | 0/340     | 1177/306             | 87.18               | 336.97                  |

در جدول (۴-۴) جرم کاهش یافته‌ی دوتربیوم و تریتیوم در نظر گرفته شده است.

جدول (۵-۴): سرعت پیستون، انرژی یون‌ها، زمان تونل‌زنی و دامنه‌ی توقف یون‌ها بر حسب شدت تابش لیزر.

| $I(W/cm^2)$ | $\beta_f$ | $\varepsilon_i(Mev)$ | $T_p(c/\lambda)$    | $\rho l_i(g/cm^2)$      |
|-------------|-----------|----------------------|---------------------|-------------------------|
| $10^{16}$   | 0/0000815 | 0/0000239            | $5.519 \times 10^5$ | $4.807 \times 10^{-12}$ |
| $10^{18}$   | 0/000814  | 0/00238              | $5.519 \times 10^4$ | $1.908 \times 10^{-8}$  |
| $10^{20}$   | 0/00808   | 0/235                | $5.519 \times 10^3$ | $7.40 \times 10^{-5}$   |
| $10^{21}$   | 0/025     | 2/27                 | $1.745 \times 10^3$ | $4.39 \times 10^{-3}$   |
| $10^{22}$   | 0/0753    | 20/57                | $5.519 \times 10^2$ | 0.226                   |
| $10^{23}$   | 0/204     | 157/85               | $1.745 \times 10^2$ | 9.054                   |
| $10^{24}$   | 0/449     | 909/48               | 55.19               | 211.754                 |

در جدول (۵-۵) جرم یون، جرم دوتربیوم در نظر گرفته شده است.

از جدول (۴-۴) و (۴-۵) دیده می‌شود که با افزایش شدت تابش لیزر، سرعت پیستون و انرژی یون‌ها و دامنه توقف یون‌ها افزایش می‌یابد ولی زمان تونل‌زنی کاهش می‌یابد. بنابراین با افزایش شدت تابش پدیده تونل‌زنی راحت‌تر و سریع‌تر اتفاق می‌افتد. البته در شدت‌های خیلی بالا ( $W/cm^2$  ۱۰<sup>۲۳</sup> و بالاتر از آن) اختلاف اندازه‌ی انرژی یون‌ها و دامنه توقف یون‌ها و زمان تونل‌زنی میان جدول (۴-۴) که در آن جرم یون، جرم کاهش یافته‌ی دوتربیوم و تربیتیوم در نظر گرفته شده با جدول (۴-۵) که در آن جرم یون، جرم دوتربیوم (با غلظت کم تربیتیوم در نظر گرفته شده) در نظر گرفته شده خیلی بیشتر می‌شود. اما از مقایسه‌ی دو جدول دیده می‌شود که در شدت تابش ( $W/cm^2$  ۱۰<sup>۲۲</sup>) اندازه‌ی انرژی یون‌ها و دامنه توقف یون‌ها و زمان تونل‌زنی بسیار نزدیک می‌باشد. بنابراین در شدت تابش ( $W/cm^2$  ۱۰<sup>۲۲</sup>) می‌توان کپسول حاوی جرم دوتربیوم (با جرم کم تربیتیوم) را که از لحاظ اقتصادی مقرن به صرفه است، برای هدف همچوشی را انتخاب کرد.

#### جدول (۶-۴): سرعت تونل زدن بر حسب شدت تابش، طول موج و چگالی یون.

| $U(cm/s)$              | $I(W/cm^2)$ | $\lambda(\mu m)$ | $n_i/n_c$ |
|------------------------|-------------|------------------|-----------|
| $1.057 \times 10^8$    | $10^{18}$   | 0/25             | 1         |
| $3.34 \times 10^9$     | $10^{21}$   | 0/25             | 1         |
| $1.057 \times 10^{10}$ | $10^{22}$   | 0/25             | 1         |
| $2.36 \times 10^7$     | $10^{18}$   | 0/25             | 20        |
| $7.47 \times 10^8$     | $10^{21}$   | 0/25             | 20        |
| $2.36 \times 10^9$     | $10^{22}$   | 0/25             | 20        |
| $1.057 \times 10^7$    | $10^{18}$   | 0/25             | 100       |
| $3.34 \times 10^8$     | $10^{21}$   | 0/25             | 100       |
| $1.057 \times 10^9$    | $10^{22}$   | 0/25             | 100       |
| $2.11 \times 10^8$     | $10^{18}$   | 0/5              | 1         |
| $6.68 \times 10^9$     | $10^{21}$   | 0/5              | 1         |
| $2.11 \times 10^{10}$  | $10^{22}$   | 0/5              | 1         |

|                       |           |     |     |
|-----------------------|-----------|-----|-----|
| $4.73 \times 10^7$    | $10^{18}$ | 0/5 | 20  |
| $1.49 \times 10^9$    | $10^{21}$ | 0/5 | 20  |
| $4.73 \times 10^9$    | $10^{22}$ | 0/5 | 20  |
| $2.11 \times 10^7$    | $10^{18}$ | 0/5 | 100 |
| $6.68 \times 10^8$    | $10^{21}$ | 0/5 | 100 |
| $2.11 \times 10^9$    | $10^{22}$ | 0/5 | 100 |
| $3.38 \times 10^8$    | $10^{18}$ | 0/8 | 1   |
| $1.07 \times 10^{10}$ | $10^{21}$ | 0/8 | 1   |
| $3.38 \times 10^{10}$ | $10^{22}$ | 0/8 | 1   |
| $7.56 \times 10^7$    | $10^{18}$ | 0/8 | 20  |
| $2.39 \times 10^9$    | $10^{21}$ | 0/8 | 20  |
| $7.56 \times 10^9$    | $10^{22}$ | 0/8 | 20  |
| $3.38 \times 10^7$    | $10^{18}$ | 0/8 | 100 |
| $1.07 \times 10^9$    | $10^{21}$ | 0/8 | 100 |
| $3.38 \times 10^9$    | $10^{22}$ | 0/8 | 100 |

در جدول (4-6) جرم یون، جرم کاهش یافته‌ی دوتربیوم و تریتیوم در نظر گرفته شده است.

جدول (4-7): سرعت تونل زدن بر حسب شدت تابش، طول موج و چگالی یون.

| $U(cm/s)$          | $I(W/cm^2)$ | $\lambda(\mu m)$ | $n_i/n_c$ |
|--------------------|-------------|------------------|-----------|
| $7.47 \times 10^7$ | $10^{18}$   | 0/25             | 1         |
| $2.36 \times 10^9$ | $10^{21}$   | 0/25             | 1         |

|                       |           |      |     |
|-----------------------|-----------|------|-----|
| $7.47 \times 10^9$    | $10^{22}$ | 0/25 | 1   |
| $1.67 \times 10^7$    | $10^{18}$ | 0/25 | 20  |
| $5.28 \times 10^8$    | $10^{21}$ | 0/25 | 20  |
| $1.67 \times 10^9$    | $10^{22}$ | 0/25 | 20  |
| $7.47 \times 10^6$    | $10^{18}$ | 0/25 | 100 |
| $2.36 \times 10^8$    | $10^{21}$ | 0/25 | 100 |
| $7.47 \times 10^8$    | $10^{22}$ | 0/25 | 100 |
| $1.49 \times 10^8$    | $10^{18}$ | 0/5  | 1   |
| $4.73 \times 10^9$    | $10^{21}$ | 0/5  | 1   |
| $1.49 \times 10^{10}$ | $10^{22}$ | 0/5  | 1   |
| $3.34 \times 10^7$    | $10^{18}$ | 0/5  | 20  |
| $1.05 \times 10^9$    | $10^{21}$ | 0/5  | 20  |
| $3.34 \times 10^9$    | $10^{22}$ | 0/5  | 20  |
| $1.49 \times 10^7$    | $10^{18}$ | 0/5  | 100 |
| $4.73 \times 10^8$    | $10^{21}$ | 0/5  | 100 |
| $1.49 \times 10^9$    | $10^{22}$ | 0/5  | 100 |
| $2.39 \times 10^8$    | $10^{18}$ | 0/8  | 1   |
| $7.56 \times 10^9$    | $10^{21}$ | 0/8  | 1   |
| $2.39 \times 10^{10}$ | $10^{22}$ | 0/8  | 1   |
| $5.35 \times 10^7$    | $10^{18}$ | 0/8  | 20  |
| $1.69 \times 10^9$    | $10^{21}$ | 0/8  | 20  |

|                    |           |     |     |
|--------------------|-----------|-----|-----|
| $5.35 \times 10^9$ | $10^{22}$ | 0/8 | 20  |
| $2.39 \times 10^7$ | $10^{18}$ | 0/8 | 100 |
| $7.56 \times 10^8$ | $10^{21}$ | 0/8 | 100 |
| $2.39 \times 10^9$ | $10^{22}$ | 0/8 | 100 |

در جدول (7-4) جرم یون، جرم دوتربیوم در نظر گرفته شده است.

از جدول (6-4) و (7-4) دیده می‌شود که با افزایش شدت تابش لیزر و طول موج لیزر سرعت تونلزنی افزایش می‌یابد و با افزایش چگالی، سرعت تونلزنی کاهش می‌یابد. از مقایسه‌ی این دو جدول در شرایط یکسان چگالی، طول موج و شدت تابش مشاهده می‌شود که در حالت اول که جرم یون، جرم کاهش یافته‌ی دوتربیوم و تریتیوم در نظر گرفته شده نسبت به حالت دوم که در آن جرم یون، جرم دوتربیوم (جرم تریتیوم خیلی کم در نظر گرفته شده است) در نظر گرفته شده، سرعت تونلزنی پایین‌تر می‌باشد. بنابراین تونلزنی در حالت دوم راحت‌تر می‌باشد و از لحاظ اقتصادی مقرن به صرفه است.

جدول (4-8): جریان شتاب یون‌ها بر حسب شدت تابش، طول موج و چگالی یون.

| $F_i(GJ/cm^2)$     | $I(W/cm^2)$ | $\lambda(\mu m)$ | $n_{i\max}/n_{i\min}$ |
|--------------------|-------------|------------------|-----------------------|
| 0                  | $10^{18}$   | 0/25             | 1                     |
| 0                  | $10^{21}$   | 0/25             | 1                     |
| 0                  | $10^{22}$   | 0/25             | 1                     |
| $9.98 \times 10^4$ | $10^{18}$   | 0/25             | 20                    |
| $9.98 \times 10^7$ | $10^{21}$   | 0/25             | 20                    |
| $9.98 \times 10^8$ | $10^{22}$   | 0/25             | 20                    |
| $1.53 \times 10^5$ | $10^{18}$   | 0/25             | 100                   |
| $1.53 \times 10^8$ | $10^{21}$   | 0/25             | 100                   |
| $1.53 \times 10^9$ | $10^{22}$   | 0/25             | 100                   |

|                    |           |     |     |
|--------------------|-----------|-----|-----|
| 0                  | $10^{18}$ | 0/5 | 1   |
| 0                  | $10^{21}$ | 0/5 | 1   |
| 0                  | $10^{22}$ | 0/5 | 1   |
| $1.99 \times 10^5$ | $10^{18}$ | 0/5 | 20  |
| $1.99 \times 10^8$ | $10^{21}$ | 0/5 | 20  |
| $1.99 \times 10^9$ | $10^{22}$ | 0/5 | 20  |
| $3.07 \times 10^5$ | $10^{18}$ | 0/5 | 100 |
| $3.07 \times 10^8$ | $10^{21}$ | 0/5 | 100 |
| $3.07 \times 10^9$ | $10^{22}$ | 0/5 | 100 |
| 0                  | $10^{18}$ | 0/8 | 1   |
| 0                  | $10^{21}$ | 0/8 | 1   |
| 0                  | $10^{22}$ | 0/8 | 1   |
| $3.19 \times 10^5$ | $10^{18}$ | 0/8 | 20  |
| $3.19 \times 10^8$ | $10^{21}$ | 0/8 | 20  |
| $3.19 \times 10^9$ | $10^{22}$ | 0/8 | 20  |
| $4.91 \times 10^5$ | $10^{18}$ | 0/8 | 100 |
| $4.91 \times 10^8$ | $10^{21}$ | 0/8 | 100 |
| $4.91 \times 10^9$ | $10^{22}$ | 0/8 | 100 |

از جدول (۴-۸) دیده می‌شود که با افزایش شدت تابش لیزر، طول موج لیزر و چگالی یون، جریان شتاب یونی افزایش می‌یابد. اگر  $n_{i\max} = n_{i\min}$  باشد در این صورت دو لایه‌ی جداسازی بار تشکیل نمی‌شوند و چون یون‌ها در همه جا به طور یکنواخت توزیع شده‌اند بنابراین محركی برای شتاب یون‌ها وجود ندارد.

## بحث و نتیجه‌گیری

به تازگی با اختراع لیزرهای پر شدت، تونل‌زنی لیزر در یک پلاسمای DT چگال پیشنهاد شده است. در این مقاله با معرفی نیروی پاندروماتیو به بررسی و محاسبه‌ی این نیرو پرداخته شد. همچنین انرژی یون‌ها، سرعت تونل‌زنی و زمان تونل‌زنی در دو حالت بررسی شده است: در حالت اول جرم یونی، همان جرم کاهش یافته‌ی دوتربیوم و تریتیوم و در حالت دوم جرم یونی، همان جرم دوتربیوم (با غلظت کم تریتیوم) در نظر گرفته شده است. در واقع همین شدت بالایی از پالس‌های کوتاه لیزر است که کاربرد آن افق جدیدی در تونل‌زنی حفره در پلاسمای فوق چگال ناهمگن و احتراق هدف همجوشی DT از پیش فشرده شده، ایجاد کرده است. نیروی پاندروماتیو بوسیله‌ی پالس‌های نوری با شدت بالای  $\frac{W}{cm^2} 10^{21}$ ، باریکه‌های الکترون و بروتون را تا انرژی میلیون الکترون ولت در فاصله چند میکرونی شتاب می‌دهد. تغییرات این شتاب هزار برابر بزرگتر از فرکانس تابشی حاصل شده از شتاب دهنده‌ها می‌باشد. با افزایش طول موج و شدت تابش لیزر انرژی پاندروماتیو افزایش می‌باید اما تاثیر شدت تابش لیزر خیلی بیشتر از تاثیر طول موج بر انرژی پاندروماتیو می‌باشد. پس باید به این مسئله در طراحی لیزر مورد نیاز توجه کرد. مطالعات نشان می‌دهند که در ناحیه‌ی چگالی الکترون  $n_e$  (۱۰۰-۱۰۰) فرآیند تونل‌زنی حفره اتفاق می‌افتد. همچنین با افزایش شدت تابش، مقدار سرعت پیستون افزایش می‌باید. بنابراین پدیده‌ی تونل‌زنی سریعتر انجام می‌شود. دیدیم که با افزایش چگالی، انرژی یون‌ها کاهش می‌باید و این بدان معناست که یون‌ها در قلب پلاسما انرژی خود را از دست می‌دهند و باعث احتراق آن می‌شوند. اما با افزایش شدت تابش، مقدار انرژی یون‌ها افزایش می‌باید و یون‌ها می‌توانند در قلب پلاسما نفوذ کنند بنابراین پدیده‌ی تونل‌زنی راحتر اتفاق می‌افتد. همچنین دیده شد که با افزایش شدت تابش، زمان تونل‌زنی کاهش می‌باید و لذا پدیده‌ی تونل‌زنی سریعتر اتفاق می‌افتد.

این نکته نیز حائز اهمیت است که با افزایش چگالی سرعت پیستون  $\beta$ ، انرژی یون‌ها  $E$ ، و دامنه‌ی توقف یون‌ها کاهش می‌باید ولی زمان تونل‌زنی افزایش می‌باید اما بر عکس با افزایش بردار پتانسیل  $a$  سرعت پیستون  $\beta$ ، انرژی یون‌ها  $E$  و دامنه‌ی توقف افزایش می‌باید و زمان تونل‌زنی کاهش می‌باید. همچنین در شرایط یکسان چگالی یون  $(n_i/n_e)$  و بردار پتانسیل  $a$  مشاهده می‌شود که در حالت اول که جرم یون، جرم کاهش یافته‌ی دوتربیوم و تریتیوم در نظر گرفته شده، سرعت پیستون  $\beta$  که در آن جرم یون، جرم دوتربیوم (جرم تریتیوم خیلی کم در نظر گرفته شده است) در نظر گرفته شده، سرعت پیستون  $\beta$  کمتر می‌باشد و انرژی یون‌ها  $E$ ، دامنه‌ی توقف و زمان تونل‌زنی بیشتر می‌باشد. اگر چه حالت اول دارای انرژی یونی  $E$  و دامنه‌ی توقف بالاتری می‌باشد و در کل شرایط بهتری را برای تونل‌زنی نسبت به حالت دوم دارد اما اختلاف انرژی یونی و دامنه‌ی توقف بین این دو حالت با افزایش چگالی خیلی کم می‌شود پس یک نتیجه‌ی مهم گرفته می‌شود که در چگالی خیلی بالا می‌توان از کپسول دوتربیوم (با غلظت کم تریتیوم) به جای کپسول حاوی مقدار مساوی دوتربیوم و تریتیوم استفاده کرد که این از لحاظ اقتصادی خیلی مقومن به صرفه است.

## منابع

- [1] "Basics of Nuclear physics and Fission.<http://www.ieer.org/reports/n-basics.html>" Decay, binding energy,fission. By Institute for Energy and Environmental Research.

- [2] Robin Herman, Fusion: The Search for Endless Energy, Cambridge University press, NewYork, 1990.A Well-written and interesting account.
- [3] Emilio Segre, "The Discovery of Nuclear Fission,"physics Today, July 1998, P. 38.  
<http://www.jet.uk/fusion>
- [4] "Nuclear Fusion Basics"1.html By JET Joint Undertaking .
- [6] "Plasma Physics for nuclear fusion", by K. Miyamoto ,The Mit Press, 1976.
- [7]" Physiques des plasmas thermonuclear", by C. Bayer et Juraszek, 2001.
- [22] "The Physics of ICF", By S. Atzenids,Clarendon PreOxford, 2005.
- [23]"Laser Driven Fusion",by K.A. Brukner and Jora, review of Modern Physics, 1974.
- [49] O. Willi, The Royal Society, 357, 555-574, [1999].
- [53] H. Takabe et al., Plasma Physics and. Controlled Fusion, 41, 3A, [1999].
- [54] M.H. Key, Nature, 412, 775-776, [2001].
- [55] C. Deutsch, Eur. Phys. J. Appl. Phys, 24, 95–113, [2003].
- [57] V.T Tikhonchuk et al., Journal of Physics: Conference Series, 244, 022069, [2010].
- [58] [12] Y. Sentoku et al., Physics of Plasmas, 11, 3038, [2004]. 55
- [59] P.A. Norreys et al., Physics of Plasmas, 7, 3721, [2000].
- [63] A.L. Lei et al., Physics Review Letters, 96, 255006, [2006].
- [72] Esirkepov .T, et al., Phys, Rev. LETT, 92 (2004) 175003.
- [73] Macchi .A, et al, Phy, Rev .Lett, 94 (2005) 165003.
- [74] Sokolov .I.V, et al., Phys .Rev .Lett, Submitted.